

## ПЕРЕКРУЧЕННЫЕ ЭЙКОНАЛЬНЫЕ ГРАФЫ И СТРУКТУРА КВАЗИПОТЕНЦИАЛА

С. П. Кулешов, В. А. Матвеев, А. Н. Сисакян,  
М. А. Смандырев, А. Н. Тавхелидзе

На основе метода прямолинейных путей исследуется асимптотика перекрученных эйкональных графов, нарушающих эйкональное представление с эффективным юкавским потенциалом для суммы диаграмм лестничного типа уже в высших порядках теории возмущений. Полученные результаты используются для восстановления асимптотического квазипотенциала.

Исследования эйконального представления на основе метода прямолинейных путей [1, 2] показали, что эйкональная формула соответствует учету лишь виртуальных процессов, в которых не меняется сорт частицы, несущей большой импульс.

Неэйкональные вклады в амплитуду появляются при изменении сорта лидирующей частицы [3], т. е. при учете процессов с передачей больших импульсов от нуклонов к мезонам и обратно. В связи с этим в работе [3] отмечалось, что при исследовании высокоэнергетической асимптотики амплитуды рассеяния двух нуклонов в скалярной модели необходимо учитывать, кроме лестничных, также и перекрученные графы, получающиеся из лестничных графов перестановкой импульсов двух нуклонов. Возможность перекоса больших импульсов мезонами приводит к тому, что вклад таких графов может доминировать над эйкональными в том же порядке теории возмущений.

Это обстоятельство приводит к тому, что локальный квазипотенциал в области высоких энергий будет определяться рядом по константе связи  $g^2$ , члены которого дают поправки к юкавскому взаимодействию, соответствующему традиционному эйкональному приближению. Ниже мы подробнее рассмотрим такие диаграммы, а также изучим проблему восстановления по ним асимптотического квазипотенциала.



Рис. 1

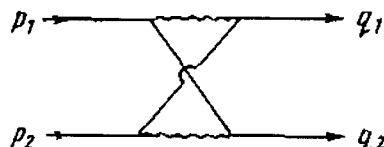


Рис. 2

Во втором порядке теории возмущений имеется лишь один перекрученный граф (рис. 1) с очевидной асимптотикой  $1/s$  (напомним, что  $s = (p_1 + p_2)^2$  и  $t = (p_1 - q_1)^2$ ).

В четвертом порядке имеем уже две такие диаграммы. Одна из них (рис. 2) имеет более слабую асимптотику ( $1/s^2$ ), чем соответствующий неперекрученный граф. Другая же, изображенная на рис. 3, обладает асимптотикой  $\ln s/s$ , что приводит к нарушению эйконального представления для суммы обобщенных лестничных графов уже в четвертом порядке.

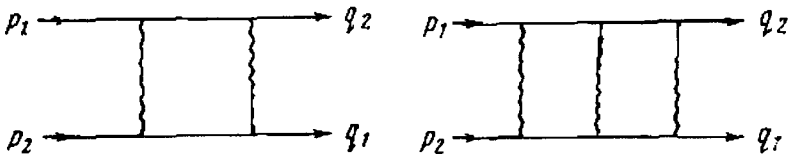


Рис. 3

Рис. 4

ке [3]. Напомним, что пезикональные вклады, на возможность существования которых указывалось в работе [4], появляются лишь начиная с восьмого порядка теории возмущений.

В следующем порядке мы имеем шесть перекрученных диаграмм. Диаграмма, изображенная на рис. 4, имеет наиболее слабую асимптотику ( $1/s^3$ ). Следующая пара графов (рис. 5) в пределе  $s \rightarrow \infty$ ,  $t$  фиксировано,

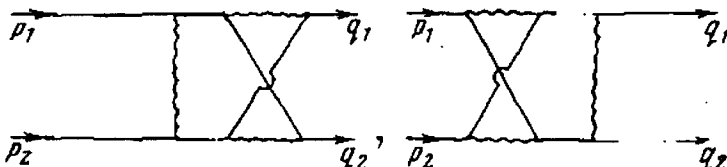


Рис. 5

ведет себя как  $\ln s/s^2$ , т. е. имеет ту же асимптотику, что и неперекрученные графы в этом же порядке. Диаграммы рис. 6 имеют асимптотическое

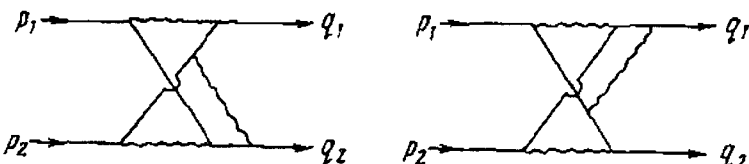


Рис. 6

поведение  $1/s$ , что уже сильнее, чем это следует из эйкональной формулы. И, наконец, последний граф шестого порядка (рис. 7) ведет себя как  $\ln^2 s/s$ .

Рассмотрение первых шести порядков позволяет предположить, что и в старших порядках будут доминировать диаграммы вида рис. 8, приводящие к асимптотике  $g^{2n} \ln^{n-1} s/s$ .

Если, как это обычно делается при выводе эйконального представления, суммировать лишь главные асимптотические члены в каждом порядке теории возмущений, получается следующая асимптотическая формула для суммы  $F$  перекрученных графов:

$$(1) \quad F|_{s \rightarrow \infty, \text{н-факт.}} \simeq -i \frac{s^2}{(2\pi)^4} s^{\alpha(\nu)},$$

$$(2) \quad \alpha(t) = -1 + \frac{g^2}{8\pi^2} \cdot \frac{1}{\sqrt{-t(4m^2-t)}} \ln \frac{\sqrt{1-4m^2/t} + 1}{\sqrt{1-4m^2/t} - 1}.$$

При таком способе суммирования коэффициент при  $s^{\alpha(i)}$  в выражение для  $\alpha(t)$  вычисляются лишь с точностью до  $g^2$ . Однако уже из формул (1) и (2) следует, что в рамках скалярной модели сумма лестничных графов

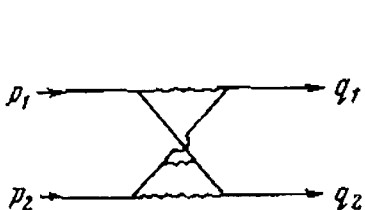


Рис. 7

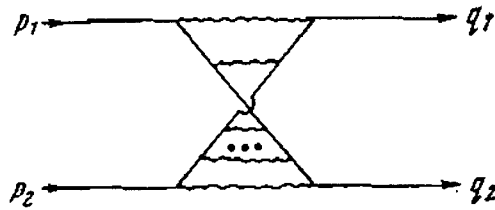


Рис. 8

отнюдь не приводит к эйкональному представлению, соответствующему рассеянию на потенциале Юкавы. Действительно, как уже отмечалось выше, перекрученные графы возникают при учете тождественности рассеивающихся частиц. В рамках квазипотенциальной теории рассеяния тождественность частиц приводит к необходимости учета обменных сил во взаимодействии двух частиц, как это имеет место в квантовой механике.

Стандартный метод построения локального квазипотенциала по теории возмущений, развитый в работах [5, 6], при наличии обменных сил может быть обобщен различными путями. Опишем здесь кратко метод, основанный на введении нормальной и обменной частей взаимодействия посредством выражения

$$(3) \quad V[s; p, k] = g(s; p-k) + h(s; p+k).$$

Квазипотенциальная амплитуда рассеяния представляется при этом суммой двух членов [7]

$$(4) \quad T[s; p, k] = G(s; p, k) + H(s; p, k),$$

удовлетворяющих системе линейных уравнений

$$(5) \quad \begin{pmatrix} G \\ H \end{pmatrix} = \begin{pmatrix} g \\ h \end{pmatrix} + \begin{pmatrix} g & h \\ h & g \end{pmatrix} \times \begin{pmatrix} G \\ H \end{pmatrix},$$

где символ  $\times$  означает интегрирование

$$\int \frac{dq}{\sqrt{m^2+q^2}} \frac{1}{m^2+q^2-E^2}.$$

При рассеянии двух тождественных частиц имеем

$$(6) \quad h(s; p+k) = \hat{P}g(s; p-k) = g(s; p+k),$$

$$H(s; p, k) = \hat{P}G(s; p, k) = G(s; p, -k) = G(s; -p, k),$$

где  $\hat{P}$  – оператор перестановки координат двух частиц. При этом функция  $G$  удовлетворяет обычному уравнению Логунова – Тавхелидзе<sup>11)</sup>

$$(7) \quad G = g + g \times G,$$

<sup>11)</sup> Уравнение (7) следует из системы (6), если учсть, что в случае тождественных частиц интегрирование по промежуточным двухчастичным состояниям содержит статистический множитель  $1/2!$ , причем  $g \times G = h \times H$  и  $g \times H = h \times G = \hat{P}(g \times G)$ .

Уравнение (7) может быть использовано для построения локального квазипотенциала  $\mathcal{g}$  по заданному ряду теории возмущений, определяющему амплитуду  $\mathcal{G}$ . Именно,

$$(8) \quad \begin{aligned} g_2 &= [\mathcal{G}_2], \\ g_4 &= [\mathcal{G}_4] - [g_2 \times g_2], \\ g_6 &= [\mathcal{G}_6] - [g_2 \times g_4] - [g_4 \times g_2] - [g_2 \times g_2 \times g_2] \end{aligned}$$

и т. д. Символ [...] обозначает процедуру «локального» продолжения за массовую поверхность  $E^2 = p^2 + m^2 = k^2 + m^2$  произвольной функции  $A(E; p, k) = A(s, t, u, \delta)$ , где  $s = 4E^2$ ,  $t = -(p-k)^2$ ,  $u = -(p+k)^2$ ,  $\delta = p^2 - k^2$ . В этих обозначениях

$$(9) \quad [A(s, t, u, \delta)] = A(s, t, 4m^2 - s - t, 0).$$

Построенный таким образом квазипотенциал позволяет, в свою очередь, восстановить исходную амплитуду рассеяния на массовой поверхности.

Подчеркнем, однако, что теория возмущений определяет амплитуду  $T$  в целом, а не  $\mathcal{G}$ - и  $\mathcal{H}$ -части в отдельности, т. е.

$$(10) \quad T_{2n}(s, t) = [\mathcal{G}_{2n}(E; p, k) + \mathcal{H}_{2n}(E; p, k)].$$

Определив величины

$$(11) \quad \begin{aligned} F_{2n}(s, t) &= [\mathcal{G}_{2n}(E; p, k)], \\ B_{2n}(s, u) &= [\mathcal{H}_{2n}(E; p, k)], \end{aligned}$$

связанные в случае рассеяния тождественных частиц соотношением симметрии

$$(12) \quad F_{2n}(s, t) \leftrightarrow B_{2n}(s, u) \quad \text{при } t \leftrightarrow u.$$

имеем

$$(13) \quad T_{2n}(s, t) = F_{2n}(s, t) + B_{2n}(s, u).$$

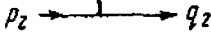
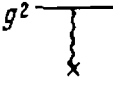
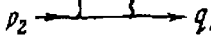
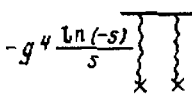
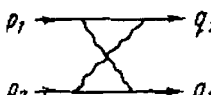
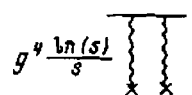
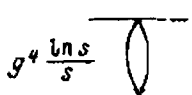
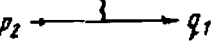
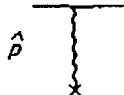
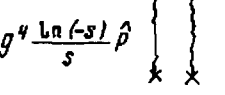
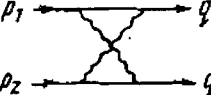
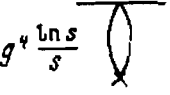
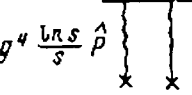
Разбиение (13), вообще говоря, неоднозначно. В качестве дополнительных условий, фиксирующих это разбиение, могут быть использованы свойства аналитичности. В частности, можно предположить, что величины  $F_{2n}(s, t)$  и  $B_{2n}(s, u)$  являются аналитическими функциями передачи импульса с особенностями при  $t > 0$  и  $u > 0$ , соответственно, и удовлетворяют дисперсионным соотношениям без вычитаний.

В настоящей работе, имея в виду задачу восстановления локального квазипотенциала по теории возмущений в области асимптотически высоких энергий, мы сформулируем следующее условие:

$F_{2n}(s, t)$  определяется главным асимптотическим членом амплитуды  $T_{2n}$  в области  $s \rightarrow \infty$ ,  $t$  фиксировано (рассеяние вперед);

$B_{2n}(s, u)$  определяется главным асимптотическим членом амплитуды  $T_{2n}$  в области  $s \rightarrow \infty$ ,  $u$  фиксировано (рассеяние назад).

Таблица, приведенная ниже, дает пример, демонстрирующий метод построения локального квазипотенциала, исходя из совокупности перекрученных и обычных эйкональных графов на основе сформулированного условия.

Графы	F-вклады	B-вклады
<b>Нормальные:</b>  	$g^2$ 	$O(1/s)$
 	$-g^4 \frac{\ln(-s)}{s}$ 	$O(1/s^2)$
 	$g^4 \frac{\ln(s)}{s}$ 	$g^4 \frac{\ln s}{s}$ 
<b>С перекруткой:</b>  	$O(1/s)$	$\hat{p}$ 
 	$O(1/s^2)$	$-g^4 \frac{\ln(-s)}{s} \hat{p}$ 
 	$g^4 \frac{\ln s}{s}$ 	$g^4 \frac{\ln s}{s} \hat{p}$ 

В ней использованы следующие обозначения:

$$\overbrace{\text{---}}_{\times} \sim \frac{1}{\Delta_\perp^2 + \mu^2}$$

и соответствует на языке квазипотенциальных графов однократному рассеянию на юкавском потенциале в области высоких энергий и фиксированных передач импульса;

$$\overbrace{\text{---}}_{\times} \sim \int \frac{d^3 k_\perp}{(k_\perp^2 + \mu^2)(\Delta_\perp + k_\perp)^2 \mu^2}$$

- двумерная свертка, соответствующая двукратному рассеянию на юкавском потенциале;

$$\overline{\langle \rangle} \sim \int \frac{d^2 k_\perp}{(k_\perp^2 + m^2) [(\Delta_\perp + k_\perp)^2 + m^2]},$$

что соответствует вкладу в рассеяние от обмена нуклон-антинуклонной парой.

Действие оператора  $\hat{P}$  сводится, очевидно, к подстановке

$$(14) \quad \hat{P} \Delta_\perp = \hat{P} (p-k)_\perp \rightarrow (p+k)_\perp.$$

Суммируя вклады обычных эйкональных графов и графов с перекруткой, найдем для амплитуды рассеяния выражение

$$T = (1 + \hat{P}) \left[ g^2 \overbrace{\text{---}} + g^4 \frac{i\pi}{s} \overbrace{\text{---}} + g^4 \frac{\ln s}{s} \overbrace{\text{---}} + \dots \right].$$

(15)

Теперь можно, воспользовавшись описанной выше процедурой, восстановить локальный квазипотенциал по теории возмущений:

$$(16) \quad g_2 = \overbrace{\text{---}} \xrightarrow[s \rightarrow \infty]{t-\text{фикс.}} \overbrace{\text{---}},$$

$$g_4 = \overbrace{\text{---}} + \overbrace{\text{---}} + \overbrace{\text{---}} + \overbrace{\text{---}} -$$

(17)

$$-\frac{g^4}{s} i\pi \overbrace{\text{---}} \xrightarrow[s \rightarrow \infty]{t-\text{фикс.}} g^4 \frac{\ln s}{s} \overbrace{\text{---}}$$

и т. д.

Как уже выше отмечалось,  $g_2$  представляет собой обычный потенциал Юкавы, фигурирующий в фазе эйконального представления. Соотношение же (17) определяет поправку к юкавскому типу, обязанную своим происхождением диаграмме на рис. 3. В импульсном пространстве эта поправка к квазипотенциалу задана формулой

$$(18) \quad g_4(q^2) = \frac{\ln s}{s} \frac{g^4}{2(2\pi)^2} \int \frac{d^2 k_\perp}{(k_\perp^2 + m^2) [(\Delta_\perp + k_\perp)^2 + m^2]},$$

в которой после интегрирования необходимо произвести замену  $\Delta_\perp^2 = -t \rightarrow q^2$ . Вводя  $\alpha$ -представление, получим из (18)

$$(19) \quad g_4(q^2) = \frac{g^4}{4(2\pi)^2} \frac{\ln s}{s} \int_0^1 \frac{d\alpha}{\alpha(1-\alpha)q^2 + m^2}.$$

Представление (19) позволяет вычислить искомый квазипотенциал в координатном представлении:

$$(20) \quad g_s(r) = \frac{g^4}{4(2\pi)^6} \frac{\ln s}{s} \int_0^1 d\alpha \int dq \frac{e^{iqr}}{\alpha(1-\alpha)q^2 + m^2} = \\ - \frac{g^4}{2(2\pi)^4} \frac{\ln s}{s} \frac{K_0(2mr)}{r}$$

Мы видим, что  $g_s$  асимптотически меньше, чем основной член (потенциал Юкавы) квазипотенциала, не зависящий от  $s$ . Однако уже в четвертом порядке  $g_s$  дает больший вклад в амплитуду рассеяния, чем вторая итерация юкавского потенциала, что и приводит к нарушению эйкональной формулы. На малых расстояниях этот потенциал ведет себя как  $\ln r/r$ , т. е. он более сингулярен, чем юкавский. На свядь пейкопальных членов с ростом сингулярности поправок к квазипотенциалу указывалось в работах [8, 9].

В заключение отметим, что изложенный метод нетрудно применить к вычислению асимптотического квазипотенциала в старших порядках теории возмущений.

Авторы выражают глубокую благодарность Н. Н. Богоявлену за интерес к работе и ценные замечания. Мы также благодарны Б. М. Барбашову, В. С. Владимирову, А. В. Ефремову, А. А. Логунову, Д. В. Ширкову за плодотворные обсуждения.

Объединенный институт  
ядерных исследований

Поступила в редакцию  
25 февраля 1974 г.

#### Литература

- [1] A. N. Tavkhelidze. High Energy Physics., p. 367, Kiev, 1972.
- [2] B. M. Barbashov, S. P. Kuleshov, V. A. Matveev, V. N. Pervushin, A. N. Sissakian, A. N. Tavkhelidze. Phys.Lett., 33B, 484, 1970.
- [3] S. P. Kuleshov, V. A. Matveev, A. N. Sissakian, M. A. Smolyakov, A. N. Tavkhelidze. Preprint E2-7041, JINR, 1973.
- [4] G. Trikopoulis, S. Treiman. Phys. Rev., 3D, 1037, 1971.
- [5] A. A. Logunov, A. N. Tavkhelidze. Nuovo Cim., 89, 380, 1963.
- [6] A. N. Tavkhelidze. Lectures on Quasipotential Method in Field Theory, Tata Institute of Fundamental Research, Bombay, 1963.
- [7] В. Р. Герсеванишвили, С. В. Голосковов, В. А. Матвеев, Л. А. Слепченко. ЯФ, 10, 627, 1969.
- [8] С. П. Кулешов, В. А. Матвеев, А. Н. Сисакян, М. А. Смоляров. Препринт Р2-6445, ОИЯИ, 1972.
- [9] С. П. Кулешов, В. А. Матвеев, А. Н. Сисакян, М. А. Смоляров. В кн.: «Физика высоких энергий», Изд. ОИЯИ, Р2-6867, стр. 183, Дубна, 1972.

#### TWISTED EIKONAL GRAPHS AND STRUCTURE OF THE QUASIPOTENTIAL

S. P. Kuleshov, V. A. Matveev, A. N. Sissakian,  
M. A. Smolyakov, A. N. Tavkhelidze

On the basis of the straight-line paths method the asymptotics of the twisted eikonal graphs is investigated. These graphs violate the eikonal representation with the effective-Yukawa potential for the sum of the ladder graphs already in the lower orders of perturbation theory. The results obtained are used for reconstructing the asymptotical quasipotential.